

# 航空机輪剎車裝置的 摩擦過程和摩擦偶的選擇

И. В. 克拉蓋里斯基、Г. Е. 楚比爾柯

A. B. 齊契納節著

古世權譯

國防工業出版社

1962

# 航空机輪刹车装置的 摩擦过程和摩擦偶的选择

И. В. 克拉盖里斯基、Т. Е. 楚比尔柯

A. B. 齐契纳节著

國防工业出版社

## 內容簡介

本书闡述高速噴氣式飞机机輪刹車装置的結構与工作特点；对刹車时摩擦过程、溫度与压力等因素对摩擦性能的影响作了相当詳細的論述；书中对摩擦溫度及摩擦試驗机的溫度状况进行了数学理論方面的探討；并且用相当篇幅介紹了在摩擦試驗机与慣性試驗台上所进行的實驗工作。

本书可供从事航空机輪設計与制造的工程技术人员、科学工作者参考，对高等航空院校的学生亦有好处。

苏联 И. В. Крагельский, Г. Е. Чупилко, А. В. Чичинадзе  
著 Процессы трения в Тормозах авиаколес Подбор  
Фрикционных пар (Издательство Академии Наук  
СССР 1955年第一版)。

国防工业出版社 出版

北京市书刊出版业营业許可证出字第 074 号

国防工业出版社印刷厂印刷

新华书店北京发行所发行 各地新华书店經售

\*

787×1092<sup>1</sup>/<sub>32</sub> 印張 5<sup>3</sup>/4 118 千字

1962年10月第一版

1962年10月第一次印刷

印数：0,001—1,000 册 定价：(11-8)0.91 元

统一书号：15034·488

# 目 录

主要符号.....	5
噴氣式飛機機輪剎車裝置的結構和工作條件.....	7
軟管式剎車裝置.....	8
盤式剎車裝置.....	12
剎車裝置摩擦偶的工作條件.....	18
摩擦和磨損過程及各種因素對它們的影響.....	26
摩擦的種類.....	26
表面的接觸.....	29
摩擦的物理性質.....	33
摩擦中的跳躍.....	36
摩擦系數與滑動速度的關係.....	41
摩擦表面接觸單元的數量對摩擦系數的影響.....	42
磨損現象的物理性質.....	45
壓力的影響.....	56
速度的影響.....	56
溫度的影響.....	57
有關摩擦溫度計算的探討和研究工作的概述.....	63
熱傳導問題.....	63
摩擦時熱源的確定和摩擦表面溫度的計算.....	66
摩擦熱問題按謝德羅夫的解法.....	69
摩擦試驗機溫度狀況的計算.....	75
小栓式摩擦試驗機.....	76
完全相互重迭接觸的環形摩擦試驗機.....	91
論用小試樣試驗時某些條件的遵守.....	108

在 II-47 型环形摩擦試驗机上进行的材料摩擦性能的研究.....	112
II-47 型环形摩擦試驗机說明.....	114
几种摩擦材料在 II-47 型摩擦試驗机上鑑定的結果 .....	118
在 II-47 型环形摩擦試驗机上鑑定摩擦材料耐热性的方法.....	124
試驗技术.....	126
在慣性試驗台上以剎車机輪实物进行的摩擦偶的實驗性試驗.....	129
慣性試驗台的簡要說明.....	129
在慣性試驗台上进行試驗的条件.....	136
剎車时材料表面的变化.....	143
机輪的剎車特性.....	148
摩擦材料的要求.....	173
参考文献.....	178

## 主要符号

$A_c$	飞机着陆瞬间的动能。	$\mu$	波桑系数。
$A_r$	作用到刹车装置上的动能。	$M_T$	机轮刹车力矩。
$A_{cr}$	惯性试验台的动能。	$M_{T,max}$	最大刹车力矩。
$a_{cbl}$	表面的相互压入量。	$M_{T,av}$	平均刹车力矩。
$a_{kp}$	导致一定破坏形式的变形深度。	$N_{max}$	最大刹车功率。
$a$	导温系数。	$N_T$	刹车装置吸收的功率。
$C_{cam}$	考虑到飞机气动特性和滚动阻力的系数。	$N_{T,yd}$	单位刹车功率。
$c$	热容量。	$P_{cr}$	机轮承受的径向停机载荷。
$E$	弹性系数。	$P_x$	作用到机轮上的地面反作用力。
$F_{ct}$	静止摩擦力。	$P$	载荷。
$F_k$	滚动摩擦力。	$p_T$	刹车压力(刹车系统内的压力)。
$f$	摩擦系数。	$p_{\Phi,av}$	接触处上的平均实际单位压力。
$\psi_{k,max}$	机轮轮胎与地面的最大摩擦系数。	$p_{yd}$	单位压力。
$G_{noc}$	飞机的着陆重量。	$p_0$	轮胎内的压力。
$H_B$	布氏硬度。	$S_\Phi$	实际接触面积。
$J_q$	数量磨损密度。	$S_p$	计算接触面积。
$J_B$	重量磨损密度。	$S_n$	名义接触面积。
$J_x$	线性磨损密度。	$S_K$	轮廓接触面积。
$K_{cam}$	飞机着陆时的空气动力效率。	$S_T$	摩擦面积。
$K_{nep}$	滚动阻力系数。	$\tau$	单位摩擦力。
$K_x$	刚性系数。	$t$	时间。
		$V$	一体积。

$v_{CK}^0$ —刹车盘滑动速度。

$v_{CK}^R$ —刹车钢圈与刹车块的相对滑动速度。

$v_{пос}$ —着陆速度。

$v_{окр}$ —机轮线速度。

$L$ —长度。

$n_{OK}$ —单位轮廓接触面积内的接触点数量。

$n_0$ —单位名义接触面积内的接触点数量。

$n$ —一个机轮的刹车装置的数量。

$\alpha, \beta$ —单元摩擦规律中的系数。

$\alpha_{ct}$ —摩擦的稳定系数。

$\sigma_{тн}$ —热流分布系数。

$\beta_{\phi}$ —效率系数。

$\Delta$ —线性磨损量(毫米)。

$dh$ —高度。

$\Delta g_M$ —摩擦时材料的重量损耗。

$\gamma$ —比重。

$\eta_{yн}$ —摩擦疲劳强度系数。

$\delta_{гл}$ —深挖量。

$\delta_{ct}$ —轮胎的停机压缩量。

$\theta_S$ —摩擦表面的平均温度。

$\theta_V$ —体容温度(材料体积内各个不同点的温度)。

$\lambda$ —导热系数。

$q_{тн}$ —单位热流。

$\sigma$ —散热系数。

$\sigma'$ —外部散热系数。

$\varphi_{коj}$ —刹车时机轮旋转总角或机轮刹车滑行距离。

$r_{\bar{x}}$ —摩擦的平均半径。

$g$ —重力加速度。

$\gamma_{rн}$ —光滑度的正切。

## 噴氣式飛機機輪剎車裝置的 結構和工作條件

飛機的着陸速度和它的重量隨着航空科學技術的發展而增大。因此，飛機着陸時的動能和滑跑距離也就急劇增加。據國外刊物[1]的記載，目前某些噴氣式飛機已具有 $250\sim 300$ 公里/小時的着陸速度，並且可以預料，在不久的將來將出現着陸速度達 $320\sim 350$ 公里/小時的飛機。

近代噴氣式飛機着陸時所受到的氣動阻力比活塞式發動機飛機小得多。裝有滾柱軸承和高壓輪胎的機輪，在硬地面上機場上的滾動摩擦阻力也很小。因此，着陸時具有巨大動能的噴氣式飛機，在沒有剎車裝置的情況下，其着陸滑跑距離將達3500米或更大。使用這種不帶剎車裝置的飛機，需要很大的機場，而採用帶剎車裝置的機輪，則可縮短着陸滑跑距離 $\frac{2}{5}\sim \frac{3}{4}$ ，也就是說縮短至 $800\sim 1000$ 米。因而機場面積就可大大地減小。

具有 $300\sim 350$ 公里/小時着陸速度的近代噴氣式飛機，其着陸後的剎車是一個困難的技術問題。

在着陸滑跑的 $15\sim 25$ 秒鐘內，需要依靠機輪的剎車裝置把巨大的動能變為熱能並使其消散。在機輪的極狹小的空間內，布置在載重大的情況下剎車性能穩定且具有足夠功率的剎車裝置，並保證其通風散熱良好，這對機輪剎車裝置的設計人員來說是一個最困難的任務。為了保證剎車裝置穩定地工作並達到要求的使用期，摩擦偶必須選擇這樣的材料：在剎車

过程中达到的很大的单位压力与很高的摩擦温度情况下,能保持应有的机械和摩擦性能。

目前航空机輪采用的刹车装置 [2、3、37] 可以分为弯块式、軟管式和盘式三种。在高速飞机上,弯块式刹车装置几乎已不采用,因为它对摩擦系数的变化和由于大量的摩擦热而引起的刹车鋼圈的变形非常敏感,此外,甚至当机輪和刹车装置安装在起落架軸上时,由于有微小的偏心也使帶有助力弯块的弯块式刹车装置的工作受到破坏。但指出这点来是很有意思的,尽管弯块式刹车装置缺点不少,而在第二次世界大战期间,几乎在德国空軍中所有的战斗机上仍被广泛地采用。

### 軟管式刹车装置

軟管式刹车装置受刹车鋼圈的热变形和刹车片摩擦系数变化的影响較小。自 1936~1937 年起,在苏联的航空事业中,这种刹车装置(图 1)与弯块式刹车装置同时得到发展。后来,由于高速噴气式飞机的出現显著地提高了刹车装置的工作温度,因此,受温度影响較小的軟管式刹车装置便代替了弯块式刹车装置。

在最近十七年内,按結構型式來說,軟管式刹车装置几乎没有什麼改变,仅是在采用材料方面有些改进,例如采用了带有保护层的軟管;刹车装置壳体采用镁铝合金鑄件;摩擦塑料和回力彈簧片等都有所改进。

軟管式刹车装置的发展是与刹车鋼圈的发展紧密联系着的:除了改进刹车装置外,刹车鋼圈的构造也有了改进。由于工作温度的提高,刹车鋼圈改进的首要方向是在不另外增加

结构重量的条件下防止刹车钢圈因受热而变形并保证热能消散。

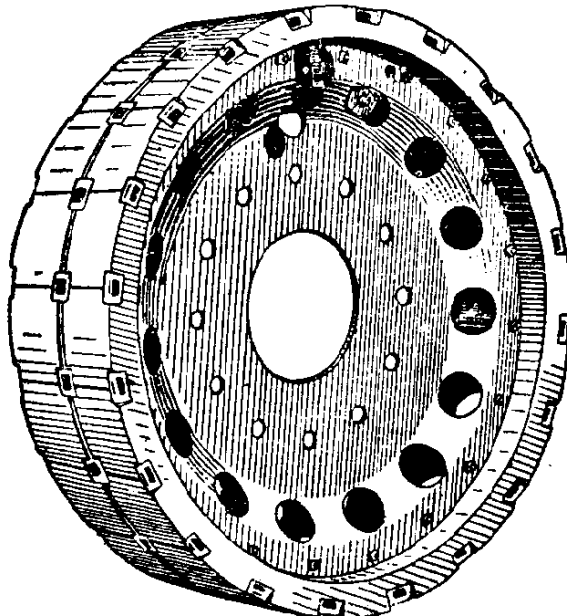


图 1 软管式刹车装置的外形。

刹车钢圈的改进主要在下列方面：刹车钢圈与轮缘绝缘（预防轮胎因过热而损坏），增加肋形散热片和采用双金属刹车钢圈。双金属刹车钢圈的内面是能在高温条件下工作比较稳定的合金铸铁摩擦面，其外面是一个钢圈，用以加强内面铸铁层[4]并起散热作用。

目前制造的刹车钢圈的直径比轮缘小（图 2），使在刹车钢圈的散热表面与轮缘之间得到空气隔热。

这种结构原理的缺点是全部刹车动能基本上只由刹车钢圈来吸收和散热，而机轮壳体和轮胎的参与作用很小。因此，为了要吸收飞机着陆时作用在刹车装置上的全部动能，不得不选用重量大的刹车钢圈。在早期的小型飞机机轮结构中，刹车钢圈是压入机轮壳体的（图 3）。

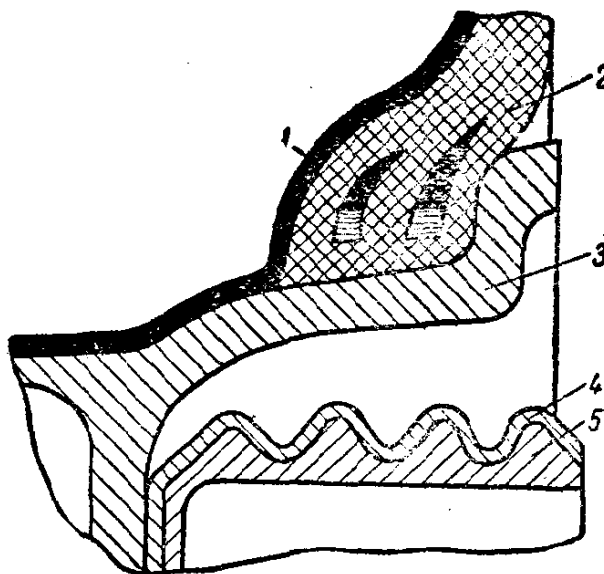


图 2 双金属刹车钢圈散热表面与轮缘之間有空  
气隔热层的近代机輪的結構：

1—内胎；2—外胎；3—轮緣；4—钢圈；5—合金鑄鐵。

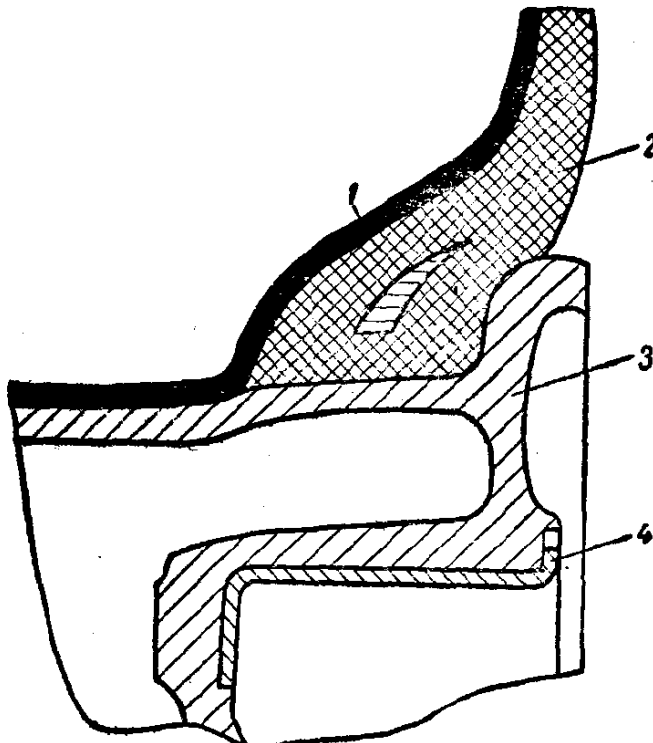


图 3 刹车钢圈压入机輪壳体的小型飞机机輪的旧式结构：  
1—内胎；2—外胎；3—机輪壳体；4—薄壁的刹车钢圈。

要提高刹车装置摩擦偶的耐磨性和摩擦系数的恒定性，不仅要寻找更加耐用的新材料，而且要改善摩擦偶的工作条件，亦即降低摩擦偶工作表面的温度，从而避免刹车块的磨损过大和刹车效率的降低。

近来在实验中已采用另一种结构的双金属刹车钢圈，其摩擦表面是一薄层铸铁或钢，其余吸收和散热的部分是由具有良好导热性和热容量大的轻铝合金制成 [5]。刹车钢圈基体的铝合金和作为刹车钢圈摩擦表面的铸铁层或钢层以特殊方法熔合：保证它们完全接触，使热可以从摩擦表面自由地传导至刹车钢圈的基体。根据我们试验得知，这种刹车钢圈的冷却性能极好。因此，摩擦表面的最高温度的保持时间就较短。这一改进不仅能使结构重量减轻，而且能改善刹车装置的受热状况，保证刹车片和刹车钢圈的摩擦表面获得较好的工作条件。

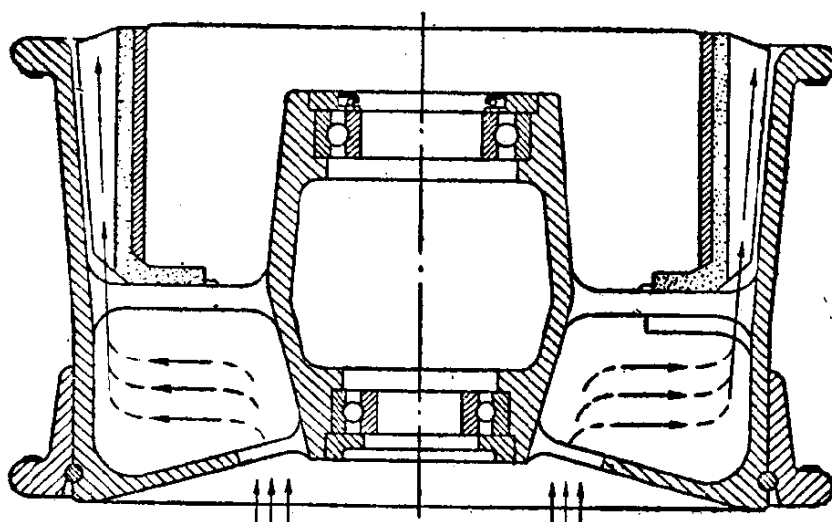


图 4 机輪壳体和刹车鋼圈散热表面自动通风的  
机輪結構。

为了降低摩擦表面和刹车片的工作温度，刹车钢圈在刹车后采取强制冷却。刹车钢圈的散热表面做成肋形的。我们尝试过采用液体冷却或盐冷却的空心的刹车钢圈，并且也采用机轮壳体通风的结构型式(图4)，让气流通过刹车钢圈的散热表面和机轮的壳体。

但是，实际上这些措施中多数都是效果低或者完全无效。最近已设计出通风的刹车装置。这样不但能冷却刹车钢圈的散热表面，而且能冷却摩擦偶的摩擦表面。这种通风的结构显著地改善刹车装置摩擦偶的受热状况。关于这种结构将在下面叙述。

### 盘式刹车装置

在近代的飞机上，为使机轮易于收起，必须采用最小外廓尺寸的机轮，所以采用了几乎不超过轮缘宽度的狭窄断面的高压轮胎。这种机轮的壳体的宽度很小，因此，在轮壳内需要安装必要宽度的刹车钢圈是一件困难的事情。这样就必须设计效率高且外廓尺寸最小的刹车装置。盘式刹车装置却满足了这个要求。

盘式刹车装置(图5)比软管式刹车装置有更多的优点，它不需要刹车钢圈，因此，没有由于刹车钢圈摩擦表面径向热收缩、膨胀、翘曲和变形而使刹车工作受到破坏的缺点[6]。

刹车盘是两面受热的，所以比刹车钢圈的效果较大，寿命也较长。刹车时，由于在两个摩擦表面上产生热能，因此，刹车盘受热较快而均匀，冷却也迅速。这样就减小了翘曲的危险。

盤式剎車裝置摩擦表面的冷卻比有剎車鋼圈的剎車裝置摩擦表面的冷卻容易[7]。

剎車盤以具有很小接觸面積的窄槽與機輪殼體連接。所以，由剎車盤至機輪殼體的接觸傳熱比由剎車鋼圈至機輪殼體的傳熱低得多。

除了沒有有害的熱變形之外，剎車盤與機輪殼體之間有良好的絕緣，這是盤式剎車裝置最重要的特點，它減小了輪胎由於剎車裝置過熱產生高溫而損壞的可能性。

盤式剎車裝置有單盤式(圖5之a)和多盤式(圖5之b)兩種。

單盤式剎車裝置的特點是大部分摩擦表面是露在外面的。因此，雖然摩擦表面在摩擦過程中發熱至灼熱程度，但因有空氣從它表面流過，所以能迅速地將熱傳給周圍介質。

摩擦表面外露的單盤式剎車裝置有很大的優點，同時也有以下的缺點：

1) 由於沒有採用任何方法來保護，剎車盤就會因受到砂子的有害作用而加速磨損。此外，在外露剎車盤的剎車裝置內，必須採用剛性大的(亦即沉重的)外伸支架。

2) 在單位壓力高的情況下，雖然採用較小的摩擦表面能使剎車盤的摩擦表面大部分露在外面，這是極有利於冷卻的。但是，作用到摩擦片上的單位壓力增加過高會使摩擦片工作不穩定：摩擦系數不恆定，產生起毛等缺陷，這也將加速磨損。

3) 剎車盤質量愈大，它所能貯蓄的熱能就愈大。但是剎車盤愈厚，溫度的梯度就愈大(容許平均溫度約 $500^{\circ}\text{C}$ ，相當於剎車時剎車盤表面的溫度 $1000^{\circ}\text{C}$ 或 $1000^{\circ}\text{C}$ 以上)。因

此，除了摩擦偶的摩擦性能恶化之外，还将引起摩擦表面氧化[8]。为了提高抵抗氧化和磨损的能力，刹车盘可以镀铬。但是，在此情况下，表面的高温会引起形成机械强度低的氧化铬，刹车装置工作时将会破裂。

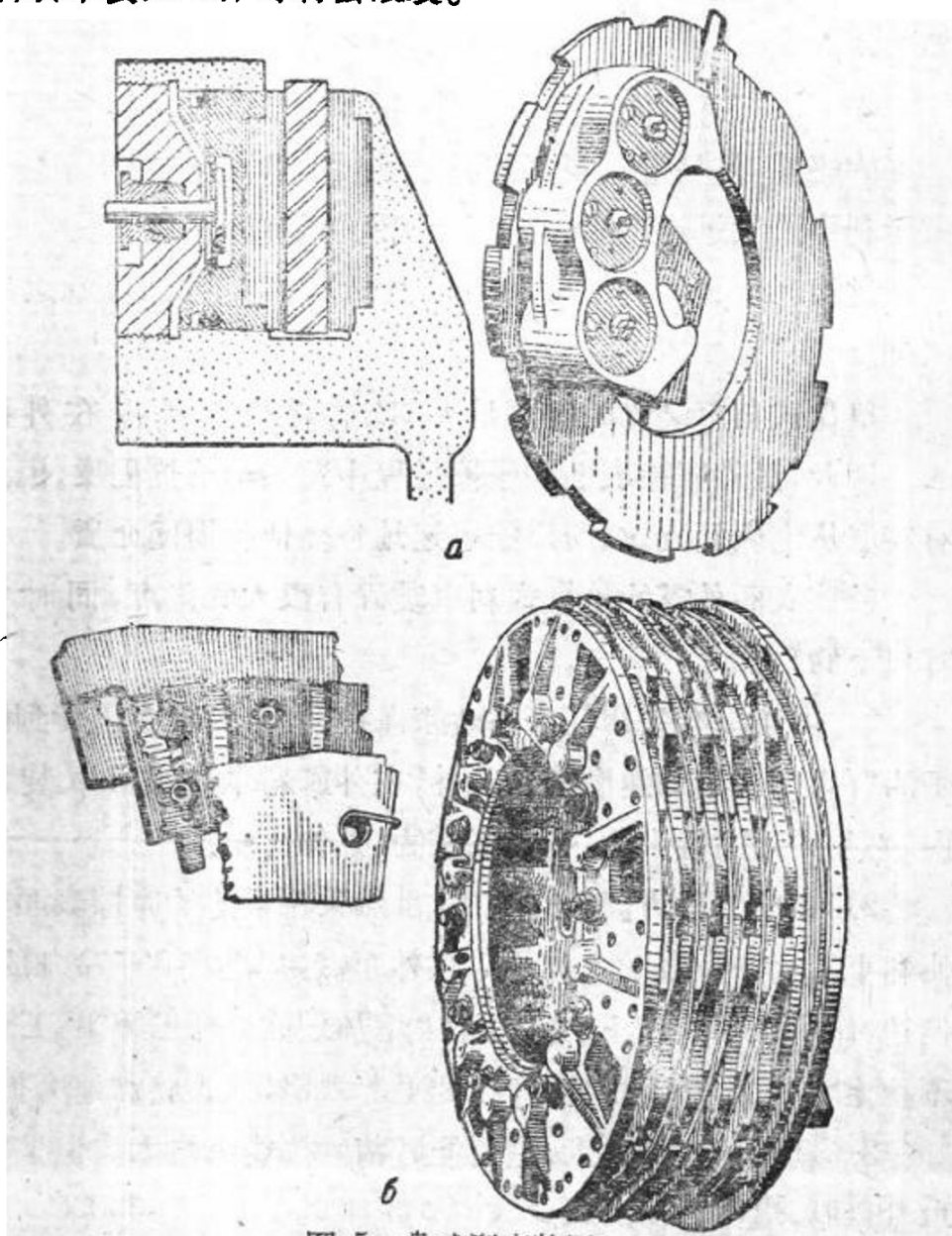


图 5 盘式刹车装置：  
a—单盘式刹车装置的外形和结构；b—多盘式刹车装置的外形和结构。

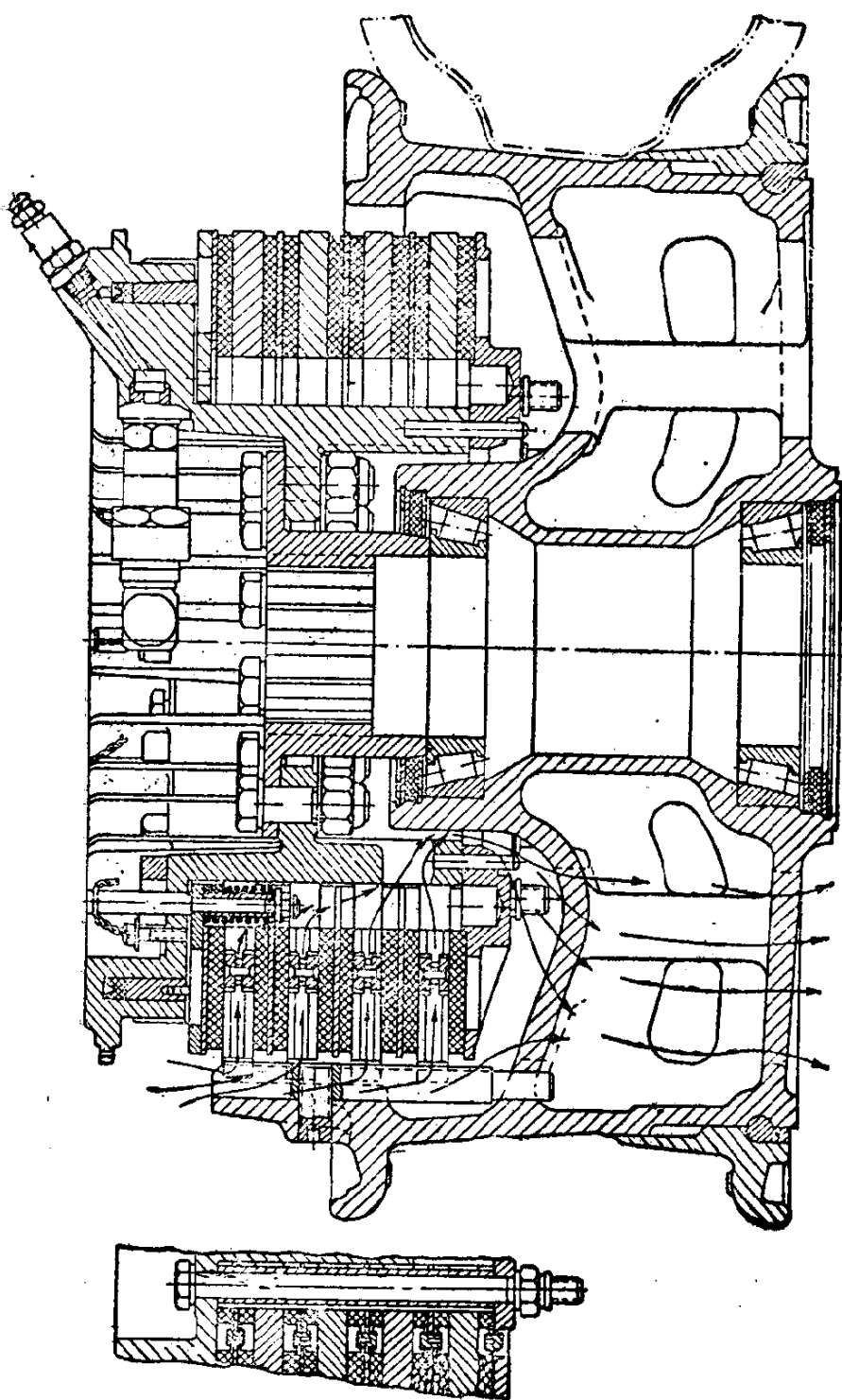


图 6 带有厚盘通风的多盘式刹车装置的航空机轮结构。

多盤式剎車裝置(各單獨的剎車盤的重量可減少至允許值)可以保證吸收大量的動能。

多盤式剎車裝置由一組固定的和一組旋轉的剎車盤構成。固定的剎車盤與剎車裝置的殼體連接, 旋轉的剎車盤則與機輪的殼體連接。

剎車時, 液壓裝置推動環形活塞, 整組旋轉的和固定的剎車盤便被壓緊。多盤式剎車裝置的結構已經發展到採用通風的厚的剎車盤(圖5之6和圖6), 它的摩擦表面利用通過它的空氣來冷卻。

固定的剎車盤除了採用陶製金屬作為摩擦層外, 塑料類的摩擦材料也已開始被採用。為了提高耐磨和防氧化的能力, 金屬磨制的旋轉的剎車盤也採取了鍍鉻的方法。

可通風的多盤式厚盤剎車裝置, 按其各部分的結構和工作來說, 與從前的多盤式剎車裝置區別頗大。旋轉的金屬的剎車盤是一些厚重的板, 它們能貯蓄大量的熱能。這種剎車裝置的每一個旋轉的剎車盤均由用特種接頭鉸接的幾塊扇形塊組成(圖5之a)。因此, 即使極高的溫度, 也不會象整塊的剎車盤那樣由於熱膨脹而使剎車盤翹曲和龜裂。帶扇形塊狀剎車盤的剎車裝置剎車時, 自動保證扇形塊與剎車片完全貼合。

扇形塊狀的剎車盤在外周邊沿上用鍵與機輪連接: 它可與機輪一同旋轉, 當壓緊和松開剎車裝置時, 還可作必要的軸向運動。這些扇形塊狀的剎車盤被壓貼在固定的表面復以摩擦片的薄的剎車盤上。固定的剎車盤則以鍵固定在剎車裝置的殼體上。與旋轉的剎車盤一樣, 它們可沿機輪的軸向作有